

高周波用 絶縁材料로서의 Forsterite 磁器에 관한 研究(II)

(Forsterite 磁器 性質에 미치는 過剩
MgO 成分과 BaCO₃의 影響)

李 應 相, 黃 聖 淵
한양대학교 무기재료 공학과
(1982年 7月 8日 接受)

A Study on the Forsterite Porcelain as a High Frequency Insulator(II) (Influence of BaCO₃, excess MgO on the Properties of Forsterite Porcelain)

Eung-Sang Lee and Sung-Yeon Whang
Department of Ceramic Eng., Hanyang Univ.
(Received July 8, 1982)

ABSTRACT

The method of lowering the sintering temperature and enlarging the range of sintering temperature in the manufacture of forsterite porcelain as a high frequency insulator was investigated.

The four kinds of forsterite chamotte were calcinated at 1400°C. The forsterite bodies produced by adding BaCO₃ as a flux and 5%Kaolin as a bonding agent were heated in the range of sintering temperature. Sintering temperature tended to increase almost straightly as MgO exceeded without BaCO₃. The range of sintering tem was at least 140°C.

Specimens of MF-2-0, MF-2-A had superior mechanical strength and dielectric properties.

The growing of the forsterite crystal was restricted and thus their grain size became fine and also the amount of crystal formation tended to decrease rapidly as BaCO₃ increased excessively.

1. 緒 言

Forsterite 磁器를 一般 絶縁體로서가 아니라 특히 電子管外圍器로 使用할 경우에는 金屬粉末을 Forsterite 素地 表面에 強固히 被膜시켜야 하는 metallize 工程을 거쳐야 하는데 이를 위해서는 高溫(Mo, Mn 粉末인 경우는 約 1300°C로 還元燒成)에서 반복가열하여야 하므로 磁器의 充分한 耐火度와 넓은 燒結溫度範圍가 필요하게 된다.

이와같은 가열반복에 의해 종종 殘存膨脹과 軟化가 일어나기 쉽고 또 磁器中の 未分解物이 分解發泡해서 變形되기 쉬우며 더욱이 遊離석영이 존재하면

Cristobalite 가 生成되어 比重과 體積變化가 일어난다.

軟化現象은 반드시 燒固溫度와 비례하지는 않지만 대개로 生成된 glass 質의 量과 정도의 영향이 크게 된다.

Forsterite는 平衡狀態圈¹⁾에 의하면 MgO 57.3%, SiO₂ 42.7%의 組成으로 1890°C의 높은 融點을 가지나 이 組成에서 SiO₂가 增加함에 따라 融點은 급격히 低下해서 SiO₂가 約 60%에 달하면 1557°C의 낮은 分解 熔融點을 가지는 meta-珪酸鹽(MgO·SiO₂)이 된다.

물론 이 領域사이에서 雜物組成은 주로 Forsterite 外에 Clinoenstatite, Cristobalite 가 生成된다.

그러므로 종래의 연구^{5,11)}들은 燒結溫度를 낮추기 위하여 용제를 첨가하는 외에 過剩 SiO₂를 포함한 Forsterite를 습석하고자 하였다. 그러나 實際로 Forsterite를 습석함에 있어 MgO와 SiO₂를 正確하게 2:1의 mole比로 하여도 粉碎混合工程 또는 粘結劑의 첨가로 珪酸분이 과잉으로 포함될 가능성은 커지게 된다. 이들과 같이 과잉 규산분의 Forsterite는 소결온도를 低下시키는 傾向이 있으나 광물의 轉移로 諸 物理的, 誘電的 性質이 좋지않게 된다.

本研究에서는 燒結溫度를 낮추고 燒結範圍를 넓히고 metallize에 적합하도록 하기 위하여 Forsterite 조성에서 MgO가 2~6% 과잉인 Forsterite chamotte를 만들고 이에 第1報¹²⁾의 實驗結果에서 가장 좋은 鑛化劑

역할을 한 BaCO₃를 선정하여 5~15% 첨가하여 各 溫度에 따른 Forsterite 素地의 諸 物理的 誘電的 性質을 比較 檢討하였다.

2. 實驗方法

2-1 試料의 製作

MgO 原料로는 日製香蘭一級의 Mg(OH)₂를 사용하였으며 SiO₂의 出發原料는 金川규석을 Ball mill에서 100-時間 微粉碎하고 微分含量을 줄이기 위해 2N·HCl 수에서 1晝夜放置後 증류수로 充分히 洗淨乾燥하여 사용하였으며 이때의 珪石粉粒度 範圍는 44~40 μ 10.5%, 40~20 μ 10.6%, 20 μ 이하 78.9%이고 化學分析値는 表 1과 같다.

Table 1 Chemical composition of raw material(wt.%)

Comp.	SiO ₂	Al ₂ O ₃	Fe ₂ O ₃	CaO	MgO	Na ₂ O	K ₂ O	TiO ₂	Ig. Loss
Raw-Material									
Kimchun Quartz	97.7	1.72	0.068			0.14	0.31	0.03	
Hadong Kaolin	46.1	37.18	0.63	0.19	0.17	0.40	0.28		14.76

Table 2 Base composition of Forsterite containing excess MgO (wt.%)

Comp.	Body No.			
	MF-1	MF-2	MF-3	MF-4
MgO	58	60	62	64
SiO ₂	42	40	38	36

이들 原料를 使用하여 表 2와 같이 4種類의 과잉 MgO Forsterite를 調査한 후 pot-mill에서 30時間 濕式粉碎後乾燥하여 500kg/cm²의 壓力으로 直徑 3.8cm의 Disk로 成形하고 1400°C에서 1時間維持 煨燒하여 8mesh篩를 통과할 정도로 마늘유발에서 粉碎하고 pot-mill에서 20時間 微粉碎하여 Forsterite chamotte로 하였다.

成形과 燒結을 容易하게 하기 위해서 添加物로 表 1과 같은 水簾 Kaolin을 사용하였으며 광化제로 BaCO₃ 日製 1級 試藥을 사용하였다.

2-2 成形 및 燒成

表 3과 같이 4가지의 MgO 과잉 Forsterite chamotte 各各에 對해 BaCO₃를 重量比로 0, 5, 10, 15% 加하고 또 粘結劑로서 水簾하동 Kaolin을 일정하게 5% 첨가하여 알콜용액에서 magnetic stirrer로 1時間 混合하고 充分히 乾燥한후, potmill에서의 불순물의 混入을 방지하기 위해, 다시 agate mortar로 30分間 粉碎한 素地調合物에 成形劑로서 固形과라핀 切割粉을 重量比로 7% 加하여 Sand Bath上에서, 加熱하면서 均一히

Table 3 Batch composition of Forsterite porcelain.

Comp.	Batch composition(Wt.%)			Forsterite chamotte/BaCO ₃ (wt.% ratio)
	Forsterite Chamotte	BaCO ₃	Kaolin	
Body No.				
MF-()-O	95.00	0	5	100/0
MF-()-A	90.25	4.75	5	95/5
MF-()-B	85.50	9.50	5	90/10
MF-()-C	80.75	14.25	5	85/15

※ ()=1,2,3,4

混合한후 物理的 測定에 使用할 試片으로는 10×1×0.8cm의 락대, 誘電的 性質測定에 使用할 試片으로는 直徑 2.5cm의 pellet가 되도록 500kg/cm²의 壓力으로 成形하였다.

各 試料에 對해 Silicon 電氣爐에서 200°C/hr의 上昇速度로 表 4와 같은 燒結溫度 범위(대개 3段階)에서 燒成하고 그 各 溫度에서 1hr 保持後 放冷하여 各 燒成溫度에 따른 各 種 物理的, 誘電的 性質의 關連性을 追求했다.

2-3 Forsterite의 特性 測定

A) 物理的 性質

最低燒結溫度는 吸水率이 0.01%이내, 最高燒結溫度는 試片의 變形 또는 敷台에 融着하지 않는 溫度로 定했다.

比重과 吸水率은 K.S.L. 3114에 의하여 測定하였고 燒成收縮率은 角柱形試片을 燒成한후 그 長이를 測定

하여 乾燥길이에 대한 減少된 길이를 百分率로 換算하였다.

熱衝擊試驗은 各 溫度로 燒成된 試片을 미리 100°C로 保持된 Siliconit 爐에 넣어 30分間 經過된 後 이들을 0°C의 水中에 投入하고 5分後 各 試片을 赤色임크로 임크 test 하여 均열유무를 관찰하고 均열이 없는 試片은 위의 온도보다 20°C 높은 溫度段階로 均열이 확인될때까지 반복 시행하였다.

취임強度는 K.S.L 3503 에 따라서 Instron Universal Test Machine 으로 測定하였다.

B) 誘電의 性質

pellet 燒成試片의 兩面을 平滑하게 연마하여 건조시킨 다음 直徑과 두께를 마이크로 메터로 測定하고 兩面에 導電塗料(Silver paste, 田中マッセイ株式會社 ロット No. 0131)를 얇게 均일하게 붓으로 塗付하여 岡崎清²⁾의 燒成 schedule 과 같이 750°C로 加熱硬化시켜 固定端子를 붙여 測定에 임했다. 試片의 空氣中의 水分吸濕을 고려하여 110°C에서 2時間 乾燥시키고 Desiccator 에 보관 誘電의 性質을 測定하였다.

Q-Meter (Type 260-A, Boonton Radio, Corp., U. S. A)를 使用하여 各 Capacitance 와 Q 값을 測定하여 第1報와 같은 方法에 의해 誘電率 K 와 Dielectric Loss power factor 를 求한 後 Loss factor 를 計算하였다. 이때의 測定周波數는 1Mc/s 이다.

C) 鑛物 組成

Forsterite 鑛物의 生成與否를 檢討하기 위하여 粉末法에 의한 X-線回折分析和 破斷面을 電子顯微鏡으로 觀察하였다.

3. 結果 및 考察

3-1 燒結溫度

圖1 과 같이 最低燒結溫度變化는 BaCO₃를 첨가하지 않고 粘結劑 Kaolin 만을 첨가한 경우에 있어서 MgO의 增加에 따라 燒結溫度가 거의 直線的으로 上昇하는 傾向을 나타내고 있는데 이것은 Chamotte 속의 과잉 MgO 와 Kaolin 이 만드는 유리相이 극히 적고 느리게 生成되기 때문이라고 생각된다.

MgO-SiO₂의 2成分系¹⁾에 있어 SiO₂가 42.7% (2MgO·SiO)에서는 1890°C 라는 높은 融點을 나타내고 그보다 SiO₂가 훨씬 많은 約 60% (MgO·SiO₂)에서는 1557°C, 또 約 65%에서는 1543°C 라는 낮은 共融點을 나타내 이 SiO₂가 과잉으로 增加하면 燒結溫度가 어느 정도 SiO₂의 量에 비례해서 낮아진다고 볼수 있으며 동시에 Forsterite 結晶外에 Cristobalite, Clinoenstite 를 포함하여 多結晶化하므로 수축팽창과 좁은 燒結溫度 범위를

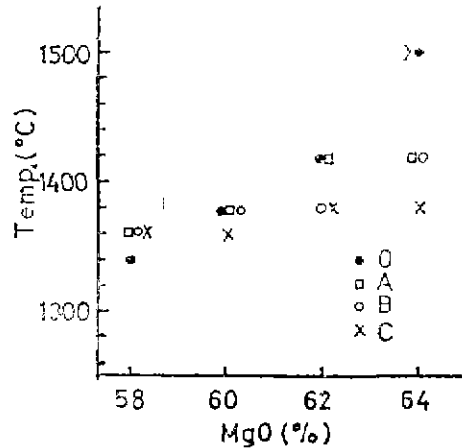


Fig. 1 Sintering temperature (low) V. S MgO content of forsterite porcelain with BaCO₃

가지게 된다.

MgO 가 58% (2MgO·SiO₂)에서 BaCO₃ 無添加보다 5, 10, 15%로 增加첨가하여도 燒結溫度가 低下되지 않은은 5% Kaolin 의 경우 BaCO₃만으로는 쉽게 glass 質을 만들수 있음을 알수 있다. 따라서 MgO 量이 過量일수록 그리고 BaCO₃量이 增加할수록 燒結溫度가 낮아지고 있음은 그만큼 Forsterite 結晶間을 유리質이 充塡하고 있다고 생각되며 또 同時에 最高燒結溫度도 表4 와 같이 MF-1 series 에서는 1500°C 인데 비해 MF-2~4 series 에서는 1500°C 이상을 나타내고 있어 燒結溫度範圍가 최소 140°C 이상의 넓은 범위를 나타내고 있다. 이와같이 燒結溫度範圍가 넓다고 하는 것은 glass 質의 生成이 比較的 낮은 온도에서 始作되지만 Forsterite 와 같은 높은 融點의 結晶을 主體로 하기 때문에 높은 溫度 까지 變形이나 融着하지 않는다고 말할수 있다. 따라서 MgO·SiO₂의 낮은 融點의 結晶을 主體로 한 Steatite 에 비해 工業적으로 製造할때 利點을 가지게 된다.

이것은 Forsterite 磁器가 MgO-Al₂O₃-SiO₂系³⁾의 相平衡圖에서 圖2 와 같은 이론적인 용융곡선에서도 잘 알수 있다.

한 예를 들면 조성 A인 Steatite (90%滑石, 10%粘土)는 1345°C에서 갑자기 約 30%程度의 유리가 생성되며 또 溫度가 上昇함에 따라 유리의 量은 급격히 增加하기 때문에 소성온도 조절이 어렵게 된다. 따라서 이 조성은 1350~1370°C에서 소성해야할 것이다. 그러나 Forsterite 磁器는 MgO-Al₂O₃-SiO₂ 三成分系 素地中 그 어느것보다 온도상승에 따라 유리량이 완만하게 增

Table 4 Ceramic properties of Forsterite porcelain containing excess MgO according to temperature and addition.

Body No.	Sintering temperature range(°C)		Thermal Shock(°C)	K	Power Factor(%)
MF-1-0	1340 - 1500	1340	130	7.06	0.150
		1440	160	8.05	0.178
		1500	160	7.44	0.330
MF-1-A	1360 - 1500	1360	160	6.69	0.230
		1440	180	7.16	0.254
		1500	180	1.80	0.254
MF-1-B	1360 - 1500	1360	200	8.02	0.080
		1440	180	7.99	0.080
		1500	180	7.82	0.094
MF-1-C	1360 - 1500	1360	160	8.36	0.060
		1440	160	8.00	0.103
		1500	130	8.39	0.120
MF-2-0	1380→1500	1380	180	7.80	0.071
		1440	180	8.02	0.054
		1500	180	8.09	0.070
MF-2-A	1380→1500	1380	200	7.90	0.035
		1440	160	7.98	0.034
		1500	160	7.97	0.068
MF-2-B	1380→1500	1380	180	7.69	0.240
		1440	160	8.26	0.145
		1500	160	8.32	0.180
MF-2-C	1360→1500	1360	160	7.71	0.164
		1440	150	7.90	0.183
		1500	160	7.65	0.300
MF-3-0	1420→1500	1420	230	6.80	0.210
		1500	180	7.96	0.254
MF-3-A	1420→1500	1420	160	7.27	0.183
		1500	160	7.72	0.158
MF-3-B	1380→1500	1380	180	8.19	0.147
		1440	160	7.64	0.292
		1500	180	7.65	0.392
MF-3-C	1380→1500	1380	180	7.87	0.143
		1440	160	7.99	0.328
		1500	130	7.99	0.373
MF-4-0	>1500	1500	280	6.05	0.405
MF-4-A	1420→1500	1420	160	7.55	0.169
		1500	160	7.80	0.154
MF-4-B	1400→1500	1400	180	7.25	0.064
		1440	180	7.68	0.250
		1500	180	7.35	0.290
MF-4-C	1380→1500	1380	180	7.77	0.064
		1440	160	8.13	0.305
		1500	160	8.48	0.340

加되고 있다.

이 이론곡선은 曲強도와 微構造의 變化와도 一致하는 현상으로 추론할수 있다.

3-2 절보기비중 및 線收縮率

이들 실험결과는 圖3.4와 같다.

절보기비중이 Kaolin 첨가만의 경우(G 인 경우)에 있

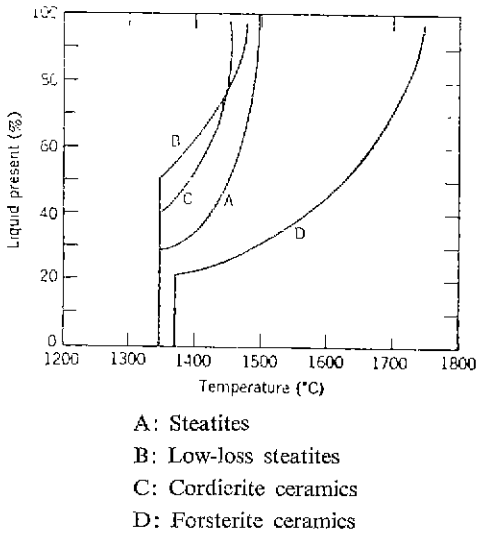


Fig. 2 Amount of liquid present at different temperatures for common compositions in the ternary system $MgO-Al_2O_3-SiO_2$.

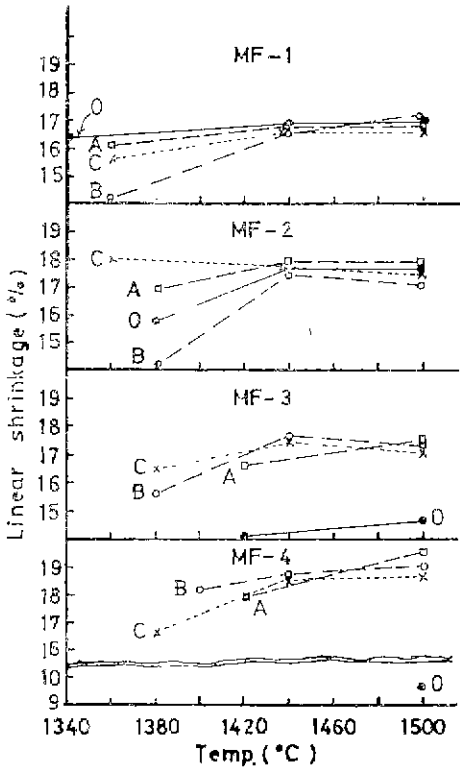


Fig. 3 Relation between in the shrinkage of body and its firing temperature.

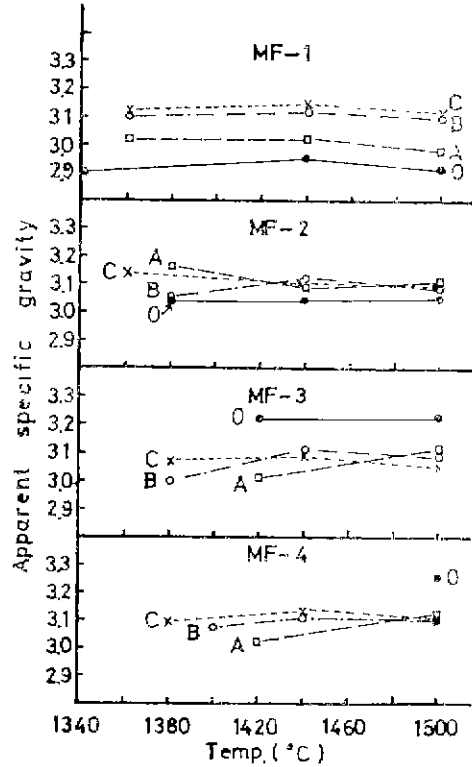


Fig. 4 Relation between apparent specific gravity of body and its firing temperature.

여기 MgO 가 과량일수록 증가하고 또 소성 온도가 상승하여도 별 변화가 없는 것은 수축율의 경우에도 일치하는 비슷한傾向을 보여서 MgO 가 증가할수록 수축은 크게 감소되고 온도가上昇하여도 역시 약간 더 수축할뿐 큰變化를 보이고 있지 않다. 이것은 尙强度에서도 같은傾向을 보이고 있다. 이 현상은 Forsterite 素地內的 Forsterite 主結晶外에 여분의 MgO 가 높은耐火性과 높은比重(진比重約 3.5)을 갖고 있으며 粘結劑인 Kaolin과 쉽게 glass質을 만들수 없기 때문이라고 생각된다.

그러나 비중이 MF-1~4 各 series의 最低燒結溫度에서 $BaCO_3$ 량이 증가할수록 커지고 있다. 또 MgO 가 과잉인 各 series 마다의 차이는 별로 없으나 온도가 상승함에 따라 약간씩 커지고 있다.

수축율이 MF-1 series에서 全般적으로 $BaCO_3$ 첨가가 無添加보다 작고 MF-2에서 MF-4 series로 갈수록 커지고 있다. 또 最低燒結溫度에서는 MgO 와 $BaCO_3$ 가 증가할수록 수축율이 크게 증가한데 비해 高溫으로 갈수록 약간 커지는 경향은 있으나 各添加量과의 차이는 점점 줄어들고 있다.

이러한 현상들은 蒸地에 $BaCO_3$ 가 들어감으로서 여분의 MgO 와 $Kaolin$ 이 쉽게 Matrix를 만들수 있으나 MgO 가 너무 과잉이거나 $BaCO_3$ 가 너무 과잉인 경우에는 오히려 역효과가 나타남을 曲强度和 Loss factor와 비교하므로써 充分히 알수 있으며 원미경 사진에서 제차 確認할수 있다.

절보기비중과 유전상수가 대체로 MF-1~4 series에서 온도에 따라서 비슷한 증가 경향을 보이고 있음은 유리상이 증가하면 밀도가 커지고 유전상수가 커진다고 하는 Hopkinson⁴⁾의 실험결과와도 일치한다 할수 있다.

3-3 熱衝擊抵抗性

열충격저항성은 表 4와 같이 各 最低燒結溫度에서 $Kaolin$ 만의 첨가에 있어 MgO 가 增加할수록 크게 增加하고 있는데 이것은 燒結溫度와도 같은 경향을 보이고 있다.

各 series에서 온도가 상승함에 따라 열충격저항성은 약간 감소하나 MgO 가 과잉인 MF-4 series에서도 뚜렷한 감소경향이 보이지 않고 있는데 이것은 동시에

最低燒結溫度가 약간씩 상승하는 要因때문이라고 생각된다.

本實驗은 過剩珪酸分の Forsterite 磁器의 경우보다 約 30~50°C의 높은 결과를 보이고 있으며 특히 열충격저항성을 높이기 위해 BeO 만을 과량 첨가 실험한 결과^{5,6)}와도 비슷한 좋은 결과를 보이고 있다.

3-4 濃縮的 性質

圖 5의 曲强度에 있어서 $BaCO_3$ 를 전혀 첨가하지 않은 MF-1-0, MF-2-0에서는 상당히 높은 값을 주나 MF-3-0, MF-4-0에서는 상당히 적은 값을 보여주고 있다. 그러나 $BaCO_3$ 5%, 10% 첨가인 경우는 全體的으로 MgO 가 增加하더라도 또 溫度가 上昇하더라도 커다란 變化는 없으나 MF-2 series에서 소결온도가 상승함에 따라 강도가 약간 平行하게 增大되고 있다. 그리고 $BaCO_3$ 가 15%인 경우는 最低燒結溫度에서 MgO 가 增加함에 따라 약간씩 감소하고 있으며 燒結溫度가 上昇함에 따라 強度는 크게 감소되고 있다.

이와같은 현상은 $BaCO_3$ 의 過量으로 유리質 matrix의 增加는 물론 특히 Forsterite 結晶의 지나친 微細化

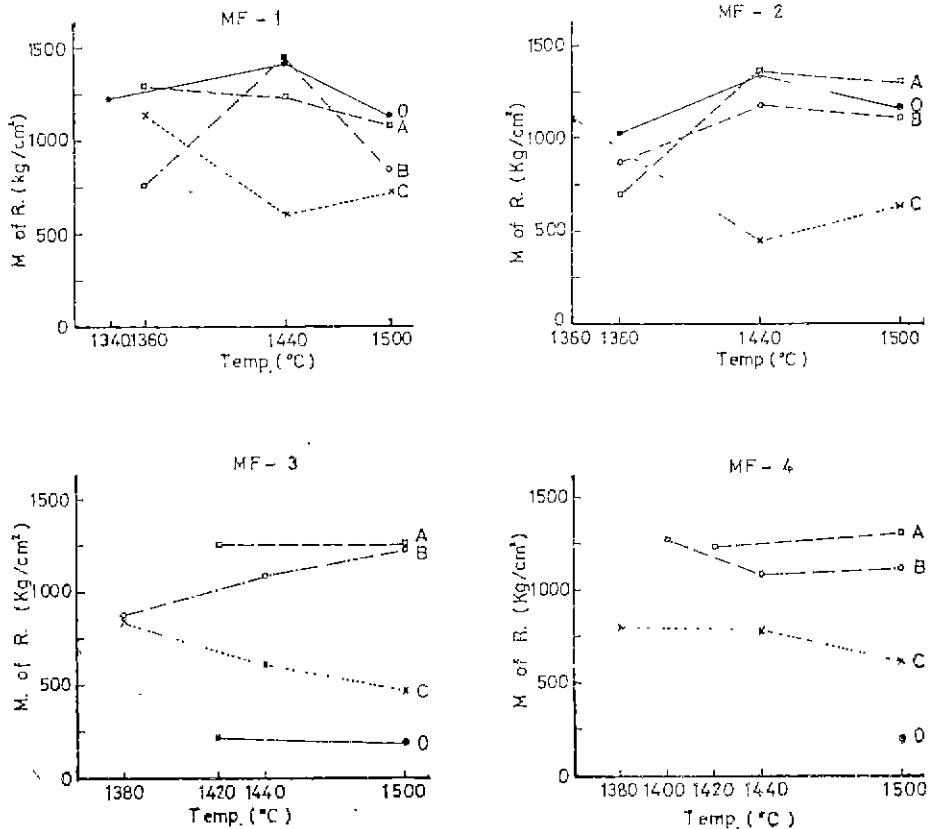


Fig. 5 Modulus of Rupture of forsterite bodies containing excess MgO according to temperature and addition.

傾向에 基因하는 것이 微構造로 알수 있다. 따라서 $BaCO_3$ 를 融劑로 10%이상 使用하여서는 Forsterite 結晶의 安定化에 裨助를 주게 된다.

특히 高强度의 경우는 잘 成長된 크고 작은 Forsterite 結晶이 粒界가 明確하게 均質하게 分布하고 있음을 현 미경사진에서 볼 수 있다.

磁器素地의 結晶비중이 增加하면 대체로 曲强度가 增加한다는 李應相²⁾의 실험결과와도, $BaCO_3$ 과량 첨가한 15%의 경우를 제외하고는, 비슷한 경향을 보이고 있다. 이와같이 磁器素地의 機械的 强度³⁾는 微構造와 밀접한 관련이 있음을 알 수 있다.

3-5 誘電의 性質

誘電的 性質의 실험결과를 表 4와 圖 6과 같다.

誘電常數는 MF-1~4 series에서 溫度上昇에 따라 $BaCO_3$ 5, 15%의 경우는 약간씩 增大되고, 10%의 경우는 MF-1, 3, 4 series에서 약간씩 減少되고 MF-2 series에서 약간 增大되고 있다. 無添加의 경우 MgO가 과잉일수록 크게 減少되고 있는 반면에 15%인 경우는 全體적으로 높은 값을 보여 주고 있다.

誘電損失 Power factor는 MF-1-B, MF-1-C, MF-2-0, MF-2-A가 全溫度에서 가장 낮은 값을 보이나 오히려 高溫보다 低溫에서의 값이 약간 적은 좋은 값

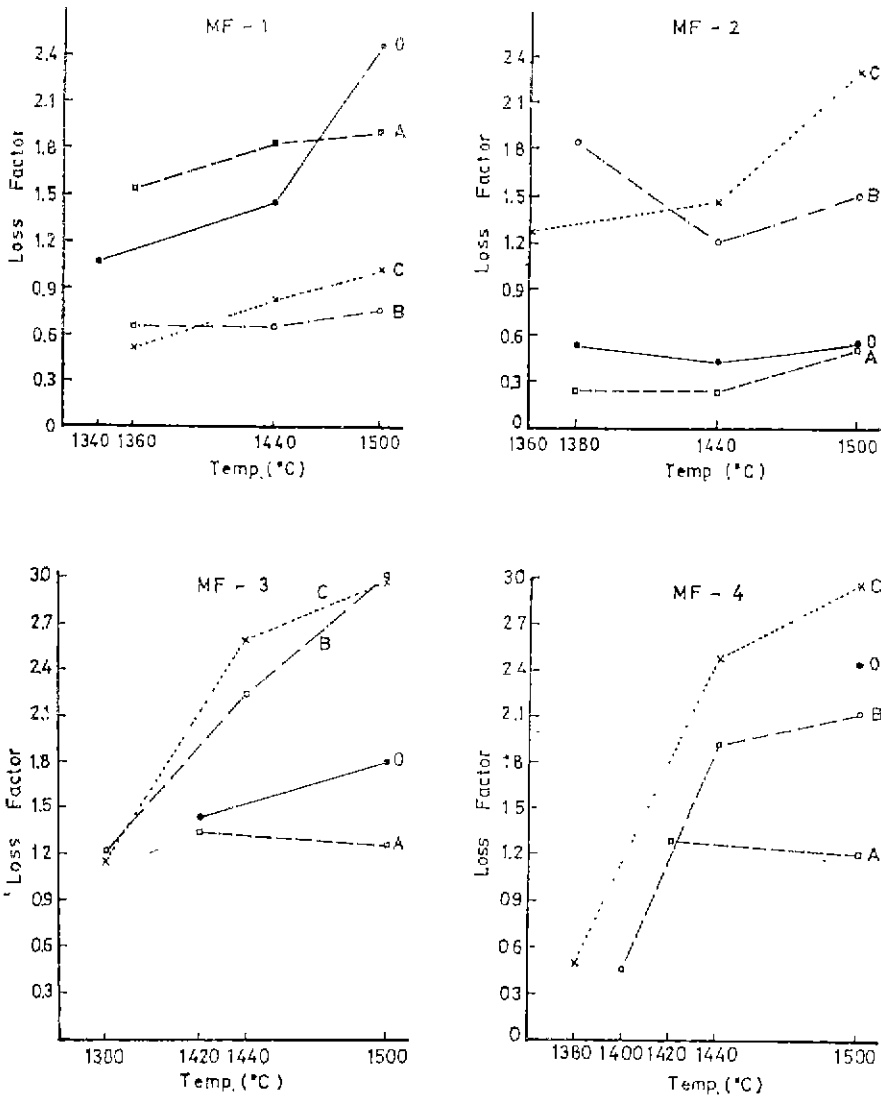


Fig. 6 Dielectric loss factor of Forsterite bodies containing excess MgO according to temperature and addition.

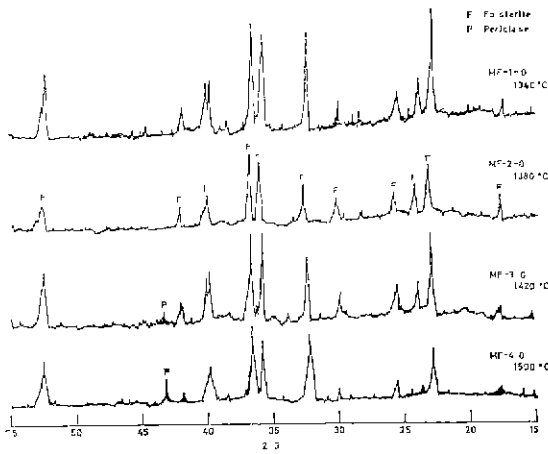


Fig. 7 X-Ray Diffraction Patterns of Forsterite Porcelain without Addition

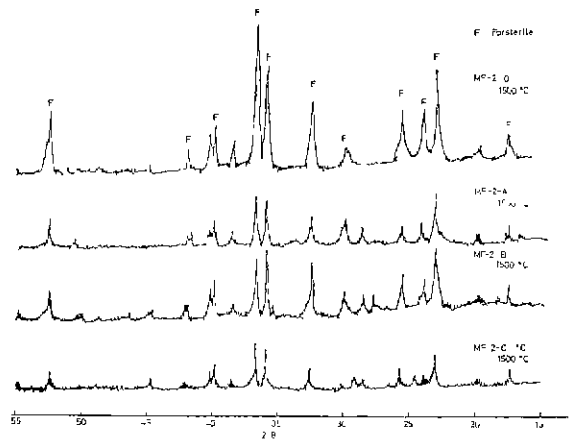


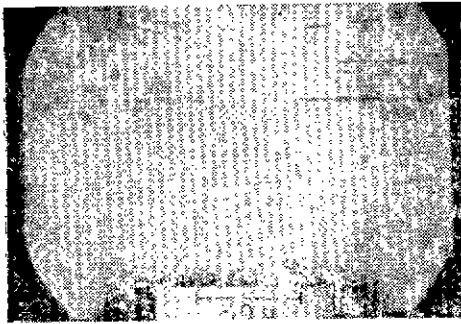
Fig. 8 X-Ray Diffraction Patterns of MF-2 Series Forsterites.

을 나타내고 있다.

또 $BaCO_3$ 15%의 경우는 低溫에서 비교적 나쁘지 않은 값을 보이다가 MgO 가 파인일수록, 온도가上昇할수록 높은 값을 나타내고 있다.

全損失 Loss factor는 MF-1 series에서 $BaCO_3$ 가

과량인 10,15%가, MF-2 series에서는 0,5%가 아주 좋은 값을 보여주고 있다. 또 MF-3.4 series는 全體的으로 높은 값을 보여주고 있으며, $BaCO_3$ 10, 15%의 경우는 溫度가上昇함에 따라 급격히 Loss factor가 커지고 있다. 대체로 $BaCO_3$ 5%인 경우는 溫度에 큰 영



(MF-1-O)



(MF-1-A)



(MF-1-B)



(MF-1-C)

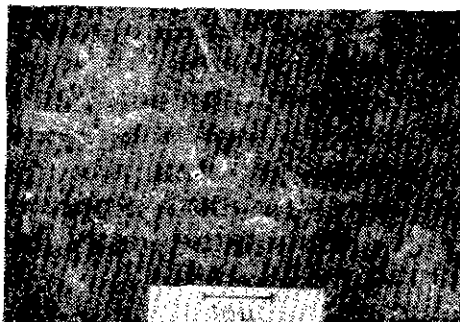
Fig. 9 Scanning electron microphotographs of MF-1 bodies with $BaCO_3$ (0, 5, 10, 15%) at 1440°C (x600, No etching)

향을 받지 않고 있다.

이와같은 현상들은 $BaCO_3$ 의 과다 사용이 Forsterite 結晶의 成長을 억제 微細化시키고 동시 일부 分解시켜 유리質 matrix 와 内部氣孔을 增大시키고 있기 때문임이 微構造에서 充分히 確認할수가 있었다. 그리고 MF-2-A 와 같이 가장 낮은 Loss factor 와 높은 強度를 보여준 Forsterite 結晶이 約 12μ 程度의 큰 結晶과 數



(1380°C)



(1440°C)



(1500°C)

Fig. 10 Scanning electron microphotographs of MF-2-A Bodies at each temperature. (x2000, etching)

μ 의 작은 結晶들이 잘 成長 發達되어 그루게 밀집 分布되어 있기 때문이다.

3-6 X-線 解析 및 顯微鏡 觀察

Forsterite의 生成與否를 調査한 X-線 分析 結果는 圖 7. 8과 같다.

圖 7의 $BaCO_3$ 를 添加하지 않은, 最低燒結溫度의 X-線 回折圖를 보면 MgO 가 과잉일수록 Forsterite 主結晶의 intensity는 약간씩 작아지고 있는 반면에 peiclas의 peak 가 커지고 있다. 이것은 MgO 가 과잉이더라도 最低燒結溫度에서는 Forsterite의 結晶 生成量에는 微弱한 變化만이 있음을 말해 준다.

圖-8 과 같이 MgO 가 2% 과량인 MF-2 series 에 $BaCO_3$ 를 0, 5, 10, 15% 첨가하고 1500°C 로 高溫燒成한 試料에 對해서 調査하면 全體의으로 Forsterite 主結晶外에 다른 結晶은 찾아볼수 없지만 $BaCO_3$ 가 增加할수록 Forsterite 結晶 生成量이 크게 감소되고 있다.

이것은 圖-9의 走査顯微鏡寫眞에서 볼수 있듯이 $BaCO_3$ 가 過量일수록 Forsterite 結晶의 成長이 억제 微細化되고 多孔質化되고 있으며 특히 微細한 Forsterite 結晶의 粒界가 不完全하다. 이것은 過量의 $BaCO_3$ 가 結晶의 界面을 일부 分解시키면서 粒界주위에 屈折率이 높은 glass 相을 增大시키기 때문에 결정 生成量도 감소되지않나 思料된다.

현미경사진에서 많은 氣孔이 보임은 개방氣孔率을 實際적으로 영으로 할수는 있어도 밀폐내부기공을 수% 이하로 줄이기는 불가능하다는 삼성분계 磁器素地의 결과⁹⁾와도 일치한다.

또한 MgO 가 과잉일수록 뚜렷한 현상은 아니지만 약간 結晶의 成長 發達이 억제되고¹⁰⁾ 있음도 觀察된다.

圖-10과 같이 Forsterite 結晶은 溫度가 上昇함에 따라 20μ 이상의 큰 結晶으로 明瞭하게 成長되고 있다. 그러나 $BaCO_3$ 가 첨가된 것은 첨가되지 않은 것보다 成長度가 느린도 알수 있었다.

Forsterite 結晶⁹⁾은 Steatite의 主結晶인 Enstatite 보다 prismatic 하고 그 크기 또한 크며, High Alumina 磁器의 결정 형태 (10μ 程度)와도 비슷하다.

次報에 다시 微構造에 대해서 詳述하고자 한다.

4. 結 言

正珪酸다네슘($2MgO \cdot SiO_2$)보다 MgO 가 過剩인 素地(MgO 58~64%)에 $BaCO_3$ 를 添加하여 燒結溫度가 낮고 燒結溫度範圍를 넓게 하므로서 諸物理的 熱的 誘電的 性質을 좋게 하기 위한 實驗結果는 다음과 같다.

1) 燒結溫度는 $BaCO_3$ 無添加인 경우 MgO 가 과잉인

수록 거의 直線的으로 增加하는 傾向이 있다.

그러나 MgO 와 BaCO₃가 增加할수록 燒結溫度는 급격히 低下되고 있는데 이것은 粘結劑인 Kaolin 과 과잉의 MgO, BaCO₃가 쉽게 glass matrix 를 만들고 있다 고 본다.

燒結溫度 범위는 最少 140°C 이상으로 넓게 나타나 고 있다.

2) 비중은 MF-1-0 에서 MF-4-0 로 갈수록 커지고 있는데 이것은 수축율과는 정반대의 같은 傾向이고 또 溫度가 上昇하여도 둔한 증가만을 나타내고 있다. 이 현상은 耐火性이 있는 과잉의 MgO 가 kaolin 과 쉽게 유리相을 만들수 없음을 말해준다.

비중과 수축이 BaCO₃가 과잉일수록 增大되고 있음은 이 또한 glass 相이 많이 생기기 때문이라고 생각한 다.

3) 曲強도는 BaCO₃ 5, 10% 첨가의 경우는 全般的으로 높은 값을 보이고 온도가 상승함에 따라 약간씩 증가하고 있다. 그러나 15%인 경우는 低溫에서 높은 값을 보이나 高溫일수록 크게 감소하는 경향을 나타내 고 있어 너무 과잉 사용임을 알수 있다.

4) 誘電常數는 BaCO₃가 增加할수록 커지고, Forsterite 結晶과 유리質量이 가장 적할하다고 생각되는 MF-2-0, MF-2-A 가 Power factor 와 Loss factor 의 값이 상당히 낮은 좋은 값을 보이고 있다.

5) MgO 가 과잉인 경우에는 결정 생성량은 둔한 감소 현상을 보이나 BaCO₃가 과잉인 경우에는 급격한 감소 경향을 보인다.

BaCO₃가 과잉일수록 Forsterite 結晶의 成長이 억제 되어 微細化되고, 結晶界面의 일부가 분해되어 粒界주 위에 屈折率이 높은 glass 相을 增大시키고 있다.

溫度가 上昇할수록 結晶은 크고 明瞭하게 성장되고 있다.

참 고 문 헌

- Ernest M. Levin, Carl R. Robbins [Phase diagrams for ceramists] The american ceramic society, INC., (1964)
- 岡崎清 「セラミック誘電体工学」 p. 292 学献社
- Kingery, Bowen, Uhlmann. [Introduction to ceramics] p 308-9 (1976)
- J. Hopkinson, "Electrostatic Capacity of Glass," phil. Trans., 169, 17-23 (1878)
- 杉浦正敏 · 石井英一 · 佐野資郎 · 平井道雄, "The Forsterite Porcelain as a High Frequency Insulator (V). (Effects of Several Rare Element Oxides)." 名工試報告 7(11) 868-72 (1958)
- 大河原晋 · 中野喜久男 "フォルステライト-ベリリア系セラミックスの諸性能に関する研究". (日) 窯協 71(4) 79-86 (1963)
- Kenya Hamano, Eung Sang Lee "Studies on the Mechanical Properties of Porcelain Bodies." *The Bulletin of The Tokyo Institute of Technology*, 108(3) 95-111 (1972)
- 窯業協會編集委員会講座小委員会 「セラミックスの機械的性質」(日)窯協(1979)
- F. H. Norton, [Fine Ceramics] McGraw Hill Book Company p.264 (1970)
- 杉浦正敏 · 佐野資郎 · 石井英一 · 平井道雄 "Influence of Excess Magnesia on the Properties of Forsterite Porcelain." 日窯協, 70(3) 71 (1962)
- 杉浦正敏 · 平井道雄 · 石井英一 · 佐野資郎, "フォルステライト磁器中の過剰珪酸分の影響", 日窯協 67 (10) 333(1959)
- 李應相 · 黃聖淵 "高周波用絶縁材料로서의 Forsterite 磁器에 關한 研究(I), (Forsterite 의 結晶質과 유리相)", 요업학회지 18 (1) 13-22(1981)

1. Ernest M. Levin, Carl R. Robbins [Phase diagrams